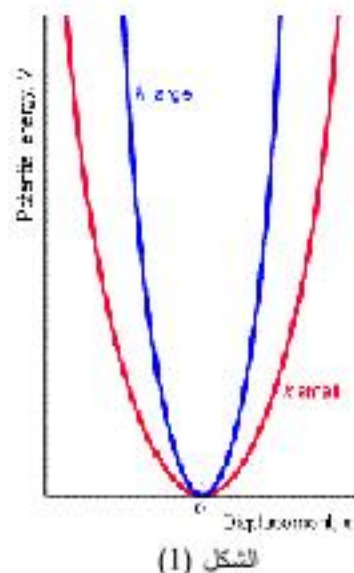
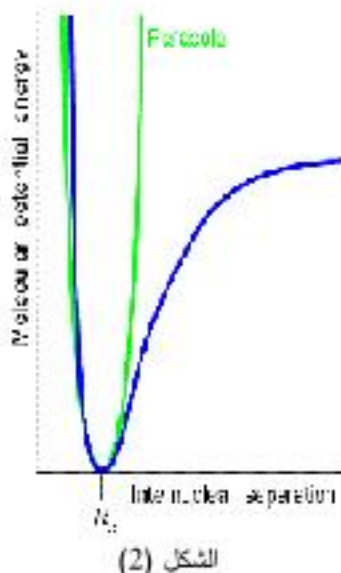


### طيف الاهتزاز الجزيئي Molecular vibration spectra

نحاول في هذا الفصل التعرف على طبيعة الاهتزاز الجزيئي، الاهتزاز الجزيئي والذي يمثل التغير في طول الأواصر بين الذرات المتجورة في الجزيئ الواحدة، وكان هذه العملية تحدث ضمن نطاق محصور بين الذرتين المتصارتين، حيث يتغير طول الأصرة (زيادة ونقصان) حول منتصف الأصرة (الذي يمثل الحالة المستقرة أو قبل الاهتزاز). الشكل (1) يبين منحنى طاقة كامنة على شكل قطع مكافئ Parabola (بذر جهد). حيث يمكن تطبيق البذر الجهد على شكل قطع مكافئ Parabola.  $R_e$  تمثل طول الأصرة في حالة الاتزان والتي تقابل أقل طاقة. ويعرف الجهد بالشكل التالي:

$$V(x) = \frac{1}{2} kx^2, \quad x = R - R_e$$

حيث  $k$  يمثل ثابت القوة Force constant، أي أن زيادة  $k$  تعني زيادة قوة التأثير. بمعنى آخر ضيق في منحنى البذر الجهد كما مبين في الشكل (2).



يمكن تطبيق الطاقة الكامنة على شكل متعدد تايلر Taylor expansion :

$$V(x) = V(0) + \left( \frac{dV}{dx} \right)_0 x + \frac{1}{2} \left( \frac{d^2V}{dx^2} \right)_0 x^2 + \frac{1}{3} \left( \frac{d^3V}{dx^3} \right)_0 x^3 + \dots$$

الحد الأول يساوي صفر (لا توجد طاقة كامنة ابتدائية). بالنسبة للمشقة الأولى للجهد عند أقل قيمة ستساوي صفر أيضاً، إذا فإن الجهد سيكون متناسب مع مربع الإزاحة. يمكن إهمال الحدود الأخرى والتي تمثل إزاحات صغيرة، لذا فإن الجهد سيكون:

$$V(x) \geq \frac{1}{2} \left( \frac{d^2 V}{dx^2} \right)_0 x^2 \Rightarrow k = \left( \frac{d^2 V}{dx^2} \right)_0$$

معادلة شرويدنكر لحركة نسبية لذرين كليهما  $m_1$  و  $m_2$  ضمن جهد على شكل قطع مكافى هي:

$$-\frac{\hbar^2}{2\mu} \frac{d^2 \psi}{dx^2} + \frac{1}{2} kx^2 \psi = E\psi, \quad \mu = \frac{m_1 m_2}{m_1 + m_2}$$

معادلة شرويدنكر مشابه لحركة جسم كليته  $m_{eff}$  واقع تحت تأثير حركة ترافقية Harmonic motion.

$$\frac{d^2 \psi}{dx^2} + \left( \frac{2\mu E}{\hbar^2} - \frac{\mu k}{\hbar^2} x^2 \right) \psi = 0$$

من الملائم أن نعمل تبسيط وذلك بعمل التعويضات التالية  $y = (\mu\omega/\hbar)^{1/2} x$  و  $\lambda = 2E/\hbar\omega$  و  $y = (\mu\omega/\hbar)^{1/2}$ . وبذلك فإن المعادلة تصبح  $y'' - y^2\psi - \lambda\psi = 0$ . إذا افترضنا أن  $y \rightarrow \infty$  فان  $(y^2 - \lambda)\psi \approx y^2\psi$  لهذا فالمعادلة ستقترب إلى الشكل التالي  $y'' - y^2\psi \approx 0$ . حل هذه المعادلة هو  $\psi(y) \cong e^{zy^{1/2}}$  وسنعتمد الإشارة السالبة لأنها تعطي اضمحلال مع زيادة  $y$ . ولتلائفي التقريب المتمثل بإهمال الحد الذي يحتوي على  $\lambda$ ، نفترض أن الدالة تأخذ الشكل التالي  $\psi(y) = f(y)e^{zy^{1/2}}$  حيث أن الدالة  $f(y)$  تكون على شكل متسلسلة. نعرض الدالة الجديدة في المعادلة قبل التقريب  $y'' - y^2\psi - \lambda\psi = 0$ .

$$(f''(y) - 2yf'(y) + y^2 f(y) - f(y))e^{zy^{1/2}} - y^2 f(y)e^{zy^{1/2}} = -\lambda f(y)e^{zy^{1/2}}$$

$$(f''(y) - 2yf'(y) - f(y))e^{zy^{1/2}} = -\lambda f(y)e^{zy^{1/2}}$$

$$(f''(y) - 2yf'(y) - (\lambda - 1)f(y))e^{zy^{1/2}} = 0$$

إذا أخذنا الدالة  $f(y)$  الشكل التالي  $f(y) = \sum_n a_n y^n$  وبتعويضها في المعادلة السابقة نحصل على.

$$f(y) = \sum_n a_n \{n(n-1)y^{n-2} - 2ny^n + (\lambda - 1)y^n\} = 0$$

بمساواة الأسس نحصل وبما أن  $0 \neq y^n$  فإن  $(n+1)(n+2)a_{n+2} + (\lambda - 2n - 1)a_n = 0$  وبذلك

$$a_{n+2} = \frac{(2n - \lambda + 1)}{(n+1)(n+2)} a_n$$

من أجل أن لا تكون  $f(y)$  متسلسلة غير ملتهبة Infinite series لذا نفرض أن المعاملات التكرارية ستلتاشي عند الحد  $v$  أي أن  $0 = 2v - \lambda + 1$  وبذلك تكون  $\lambda = 2v + 1$ . ومن تعريف  $\lambda$  نحصل على.

والذي يساوي  $E = (2v+1)(\hbar\omega/2)$  لذا فإن الطاقة الاهتزازية ستكون:

$$E(v) = (v + \frac{1}{2})\hbar\omega, \quad \omega = \sqrt{\frac{k}{\mu}}$$

مستويات الطاقة الاهتزازية مبنية في الشكل (3) إما الدالة الموجية المستويات الاهتزازية فهي كما يلى.

$$\psi_v(x) = \left( \frac{\alpha}{2^v v! \pi^{1/2}} \right)^{1/2} H_v(\alpha x) e^{-\alpha^2 x^2/2}, \quad \alpha = \left( \frac{mk}{\hbar^2} \right)^{1/4}$$

وان حد الاهتزاز Vibrational term لمستويات الطاقة الاهتزازية سيكون على النحو التالي:

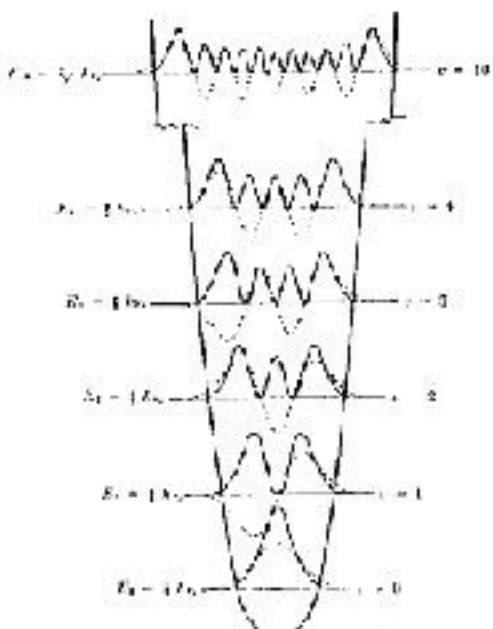
$$G(v) = (v + \frac{1}{2})\hat{\nu}, \quad \hat{\nu} = \frac{1}{2\pi c} \sqrt{\frac{k}{\mu}}$$

(مثال) ما هي منطقة الانتقالات الاهتزازية لجزيئ HCl والتي لها ثابت قوة  $516 \text{ Nm}^{-1}$

$$\cdot m_{\text{eff}} = 1.63 \times 10^{-27} \text{ kg}$$

الحل:

$$\omega = \sqrt{\frac{k}{m_{\text{eff}}}} = 5.63 \times 10^{14} \text{ s}^{-1} \Rightarrow \hat{\nu} = 2990 \text{ cm}^{-1} \Rightarrow \lambda = 3.35 \mu\text{m}$$



الشكل (3) شكل الدوال الموجية للحالة الاهتزازية الأرضية وبعض حالات التهيج الاهتزازي.

إن الطول الموجي في هذه الحالة يقع ضمن منطقة Infrared. الكتلة الفعالة قريبة جداً من كتلة الهيدروجين وهذا يعني أن ذرة Cl ستكون أثقل بجدار ثابت وإن الحركة الاهتزازية ستقوم بها ذرة H.

#### قواعد الاختيار Selection rules

تعتمد قواعد الاختيار على تحليل عزم ثانى القطب  $\langle \mu | \mu | v \rangle$ . حيث أن اهتزاز الجزيئ مسؤولي عن تغير في موقع الذرات. هذا الاهتزاز يسمى بالـ Infrared active. عملية الاهتزاز سوف يصاحبها انتقالات موجات كهرومغناطيسية. بعض أنواع الاهتزاز لا يؤدي إلى تغير في عزم ثانى القطب الكهربائي لجزيئ، لذا تسمى هذه الاهتزازات Infrared inactive. إذا افترضنا متذبذب في بعد واحد (جزيئ لها ذرتين) فإن مؤثر ثانى القطب الكهربائي يعتمد على موقع كل الألكترونات وكل الأنوبي في الجزيئ. أن عزم ثانى القطب الكهربائي

يظهر من التغير الجزئي في الشحنة  $\delta q \pm$  وفقاً للإزاحة  $R = R_i + x$ . يمكن تمثيل التغير في الشحنة مع الإزاحة بالشكل التالي:

$$\begin{aligned}\mu &= R\delta q = (R_i + x)\delta q = R_i\delta q + x\delta q \\ \mu &= \mu_i + x\delta q\end{aligned}$$

حيث  $\mu$  يمثل عزم ثانى القطب الكهربائي في حالة الاتزان. وإذا كان  $i \neq f$  فان

$$\langle v_f | \mu | v_i \rangle = \mu_i \langle v_f | v_i \rangle + \delta q \langle v_f | x | v_i \rangle$$

الحد الأول يساوي صفر لأن الدوال متعمدة. لذا يكون عزم ثانى القطب للانتقال الاهتزازي:

$$\langle v_f | \mu | v_i \rangle = \delta q \langle v_f | x | v_i \rangle$$

$$\therefore \delta q = \frac{d\mu}{dx} \Rightarrow \langle v_f | \mu | v_i \rangle = \langle v_f | x | v_i \rangle \frac{d\mu}{dx}$$

أي أن الحد على الجهة اليمنى ميساوي صفر ما لم يحدث تغير في عزم ثانى القطب الكهربائي مع الإزاحة

$\frac{d\mu}{dx}$ . الجزيئات التالية  $N_2$  و  $CO_2$  و  $OCS$  و  $CH_2$  و  $H_2O$  و  $C_6H_6$  و  $CH_4$  و  $N_2O$  و  $NO$  و  $NO_2$  لها طيف امتصاصي اهتزازي أو Infrared active

فقط  $N_2$  و  $NO$  و  $N_2O$  و  $CH_4$  لها طيف امتصاصي اهتزازي أو Infrared active.

(تمرين) لماذا تعتبر جزيئ  $CO_2$  غير فعالة Infrared inactive؟

(تمرين) نقاش الحالات  $\langle v_f | \mu | v_i \rangle$  عندما  $i = f$ .

تحديد قواعد الاختيار للانتقالات الاهتزازية يكون وفقاً لتحليل عزم الانتقال Transition moment والذي يأخذ الصيغة الرياضية.

$$\langle v_f | x | v_i \rangle = N_{v_f} N_{v_i} \int_{-\infty}^{\infty} H_{v_f}(\alpha x) x H_{v_i}(\alpha x) e^{-\beta^2} dx$$

وإذا افترضنا أن  $xy = \alpha y$  فإن المعادلة ستأخذ الشكل التالي.

$$\langle v_f | x | v_i \rangle = \alpha^2 N_{v_f} N_{v_i} \int_{-\infty}^{\infty} H_{v_f}(y) y H_{v_i}(y) e^{-\beta^2} dy$$

لحل المعادلة السابقة نحتاج العلاقة التكرارية التالية  $yH_{v-1} = vH_{v-1} + (1/2)H_{v+1}$  لذا تصبح عناصر المصفوفة على النحو التالي:

$$\langle v_f | x | v_i \rangle^{\text{Vibrational}} = \alpha^2 N_{v_f} N_{v_i} \left\{ v_i \int_{-\infty}^{\infty} H_{v_f}(y) H_{v_i-1}(y) e^{-\beta^2} dy + \frac{1}{2} \int_{-\infty}^{\infty} H_{v_f}(y) H_{v_i+1}(y) e^{-\beta^2} dy \right\}$$

لتكميل الأول يساوي صفر ما لم  $v_f = v_i - 1$  و التكميل الثاني ميساوي صفر ما لم  $v_f = v_i + 1$ . إذا عزم ثانى قطب الانتقال يساوي صفر (لا في الحلتين التاليتين:  $\Delta v = \pm 1$ ). من قواعد الاختيار فان العدد الموجي للانتقالات الاهتزازية المسموح بها من  $v \leftarrow v + 1$  تكون  $\Delta G_{v+1/2} = G(v+1) - G(v) = \hat{v}$  حيث أن  $\hat{v}$  تقع ضمن منطقة IR.

(مثال) احسب عزم الانتقال الاهتزازي بين المستويين الاهتزازي الأرضي والمستوى الاهتزازي الأول.

الحل:

$$\langle |x|0 \rangle = N_1 N_0 \int_{-\infty}^{\infty} H_1(\alpha x) x H_0(\alpha x) e^{-\beta^2 dx}$$

$$H_0(y) = 1, \quad H_1(y) = 2y$$

$$\langle |x|0 \rangle = N_1 N_0 \int_{-\infty}^{\infty} H_1(\alpha x) x H_0(\alpha x) e^{-\beta^2 dx}$$

$$\langle |x|0 \rangle = \alpha^2 \left( \frac{\alpha}{\sqrt{\pi}} \right)^{1/2} \left( \frac{\alpha}{2\sqrt{\pi}} \right)^{1/2} \int_{-\infty}^{\infty} 2y y e^{-\beta^2 dy} = \frac{2\alpha^3}{\sqrt{2\pi}} \int_{-\infty}^{\infty} y^2 e^{-\beta^2 dy}$$

$$\langle |x|0 \rangle =$$

(تمرين) احسب عزم الانتقال الاهتزازي بين المستويين الاهتزازي الاول والمستوى الاهتزازي الثاني.

(تمرين) احسب عزم الانتقال الاهتزازي بين المستويين الاهتزازي الأرضي والمستوى الاهتزازي الثاني.

عندما يكون  $\mu$  هو عزم ثانى القطب لجزيئية ما، والتي تكون في حالة الكترونية Electronic state,  $\psi$ , فان هذا العزم سيعتمد على طول الأصرة  $R$ . إذا افترضنا تغير في عزم ثانى القطب مع تغير إزاحة النواة عن موضع الاستقرار فإنه وباستخدام مفهوك Taylor expansion أن تمثل عزم ثانى القطب لجزيئية كما يلي.

$$\mu = \mu_0 + \left( \frac{d\mu}{dx} \right)_0 x + \frac{1}{2!} \left( \frac{d^2\mu}{dx^2} \right)_0 x^2 + \frac{1}{3!} \left( \frac{d^3\mu}{dx^3} \right)_0 x^3 + \dots + \frac{1}{n!} \left( \frac{d^n\mu}{dx^n} \right)_0 x^n + \dots$$

حيث  $\mu_0$  يمثل عزم ثانى القطب عندما تكون إزاحة النواة صفر. عزم الانتقال يكون.

$$\begin{aligned} \langle \psi_i | \mu | \psi_i \rangle &= \mu_0 \langle \psi_i | \psi_i \rangle + \left( \frac{d\mu}{dx} \right)_0 \langle \psi_i | x | \psi_i \rangle + \frac{1}{2!} \left( \frac{d^2\mu}{dx^2} \right)_0 \langle \psi_i | x^2 | \psi_i \rangle \\ &\quad + \frac{1}{3!} \left( \frac{d^3\mu}{dx^3} \right)_0 \langle \psi_i | x^3 | \psi_i \rangle + \dots + \frac{1}{n!} \left( \frac{d^n\mu}{dx^n} \right)_0 \langle \psi_i | x^n | \psi_i \rangle + \dots \end{aligned}$$

الحد الأول يساوي صفر بسبب التعادم  $\psi_i \neq \psi_r$ . (ذا سمح بانتقال فقط في حالة أن عزم ثانى القطب الجزيئي يتغير مع الإزاحة. في حالة أن الشحنات على الذرعين (في الجزيئات ثنائية الذرة) لا تعتمد على المسافة بين الذرعين فإن حد الدرجة الثانية Quadratic والحدود العليا الأخرى يمكن إهمالها).

(تمرين) حد عزم ثانى الانتقال الاهتزازي للحالة  $\psi_{r+2, r}$  مع  $\mu$  مع اخذ حد Quadratic في الاعتبار.

### Anharmonicity

حد الاهتزاز الذي ظهر في المعادلة الخاصة  $\Delta G_{0,0/2} = \Delta G_{0,0/2}$  يمثل تجريب لأن هذه المعادلة اعتمدت في اشتقاها على جهد تجربى Parabolic potential وليس حقيقي وإن هذا التجريب لا يكون صحيح للحالات الاهتزازية العلية حيث أنه لا يسمح بكسر الأصرة مع زيادة الطاقة الاهتزازية. إذا فالحركة أو القوة المعبدة لا تناسب

بصورة كبيرة مع مربع الإزاحة لذا من المفترض إضافة حدود أخرى من مفهوك تايلر Taylor expansion للجهد  $V(x)$ :

$$V(x) = V(0) + \left(\frac{dV}{dx}\right)_0 x + \frac{1}{2!} \left(\frac{d^2V}{dx^2}\right)_0 x^2 + \frac{1}{3!} \left(\frac{d^3V}{dx^3}\right)_0 x^3 + \dots$$

### تقريب مستويات الطاقة Convergence of energy levels

من أجل الحصول على وصف أكثر دقة في حساب مستويات الطاقة الاهتزازية يجب أن نختار جهداً أكثر واقعية، جهد موريس Morse potential يعطي تطبيق جيد.

$$V(x) = hcD_e \left\{ 1 - e^{-a(r-r_e)} \right\}^2, \quad a = \left( \frac{m_{eff}\omega^2}{2hcD_e} \right)^{1/2}$$

حيث  $D_e$  تمثل عمق البئر الجهد. معادلة شروينتكر يمكن أن تحل لجسم واقع ضمن بئر موريس حيث تكون العلاقة الخاصة بحساب طاقة الاهتزازية بالشكل التالي:

$$-\frac{\hbar^2}{2m_{eff}} \frac{d^2\psi}{dx^2} + hcD_e \left\{ 1 - e^{-a(r-r_e)} \right\}^2 \psi = E\psi, \quad a = \left( \frac{m_{eff}\omega^2}{2hcD_e} \right)^{1/2}$$

جهد موريس يمكن أن يفتح باستخدام مفهوك تايلر  $V(r)$ . Taylor expansion وبالشكل التالي.

$$V(x) = D_e \left( \alpha^2 x^2 - \alpha^3 x^3 + \frac{7}{12} \alpha^4 x^4 - \frac{1}{4} \alpha^5 x^5 + \dots \right)$$

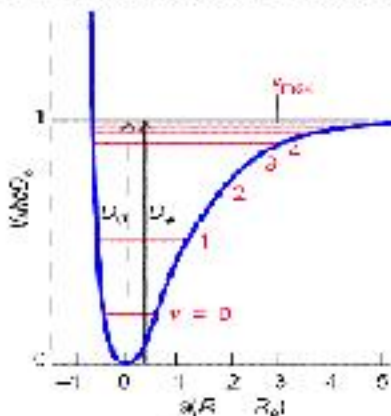
الحد الأول يمثل الحد التواقي أما الحدود الأخرى فتمثل درجات مختلفة من اللاتواقيبة. يمكن تمثيل الجهد بحدود فقط  $V(x) = D_e \alpha^2 x^2 - D_e \alpha^3 x^3$ . يمكن استخدام نظرية التصحيف لتصحيح القيم الذاتية للطاقة الاهتزازية. التصحيف الأول يكون.

$$\hat{H}^1(x) = -D_e x^3$$

$$G(v) = (v + \frac{1}{2})\hat{v} - (v + \frac{1}{2})^2 x_e \hat{v}, \quad v = 0, 1, 2, \dots, v_{max}$$

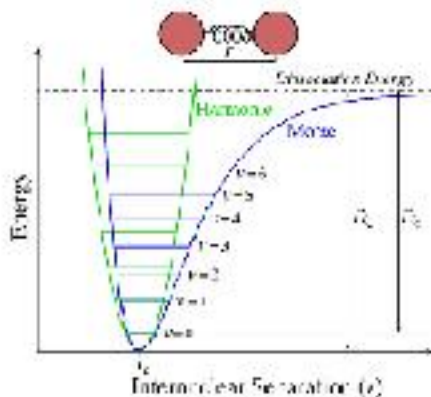
$$x_e = \frac{a^2 \hbar}{2m_{eff}\omega} = \frac{\hat{v}}{4D_e}$$

حيث  $x_e$  يعرف بثابت عدم التواقيفة Anharmonicity constant لاحظ الشكل (4).



الشكل (4)

الشكل (5) مقارنة بين مستويات الطاقة لجهد موريس  $V(x) = hcD_e \left\{ 1 - e^{-a(x-x_e)} \right\}^2$  وجهد القطع المكافئ  $V(x) = (1/2)kx^2$ . حيث نلاحظ أن مستويات موريس الاهتزازية أكثر اقتراباً وإن مستويات موريس تكون أكثر انخفاضاً مقارنتاً مع مستويات القطع المكافئ. مع زيادة  $x$  فإن مستويات موريس تقارب أكثر فأكثر مقارنتاً مع مستويات القطع المكافئ التي يبقى الفرق بين مستوياتها ثابتاً.



الشكل (5)

مثبّت موريس Morse oscillator يعتبر مهماً من الناحية النظرية لأنّه تطبيقاً يعطي حالة عامة للذلة  $G(v)$

$$G(v) = (v + \frac{1}{2})\hat{v} - (v + \frac{1}{2})^2 x_r \hat{v} + (v + \frac{1}{2})^3 y_r \hat{v} - (v + \frac{1}{2})^4 z_r \hat{v} + \dots$$

حيث أن  $\hat{v}, x_r, y_r, z_r$  تمثل ثوابت شبه عملية تعتمد على خواص كل جزءة وذلك من خلال إيجاد تطابق مع النتائج العملية لغرض تحديد طاقة تحلل الجزيئة. عند إدخال اللتوافقيّة فإن العدد الموجي للانتقال الاهتزازي عندما  $\Delta v = +1$  يكون:

$$\Delta G_{v+1/2} = G(v+1) - G(v) = \hat{v} - 2(v+1)x_r \hat{v} + \dots$$

وكمقارنة بين الجهدين فإن العدد الموجي للانتقال يكون:

$$\Delta G_{v+1/2} = G(v+1) - G(v) = \begin{cases} \hat{v}, & \text{Parabola potential} \\ \hat{v} - 2(v+1)x_r \hat{v} + \dots, & \text{Morse potential} \end{cases}$$

وجود أو ظهور خطوط امتصاص طيف اهتزازي ضعيفة تقابل الانتقالات  $0 \leftarrow 2 \leftarrow 0 \leftarrow 3$  التي تعتبر محظورة Forbidden وفق قاعد الاختبار  $\Delta v = \pm 1$  والتي تخضع إلى

$$G(v+1) - G(v) = 2\hat{v} - 2(2v+3)x_r \hat{v} + \dots$$

سبب ظهور هذه الحالات الانتقالية هو إننا قد قمنا باشتقاء قواعد الاختبار وفق دوال مثبّت تواافق أو بمعنى آخر أن الدوال التي اعتمدنا عليها هي دوال اشتقت أصلاً وفق جهد قطع مكافئ وليس وفق جهد موريس. للمثبّت الغير تواافقى فإن جميع قيم  $\Delta v$  مسموح بها، وفقط الانتقالات التي لها  $\Delta v = 1$  تكون ضعيفة عندما تكون عدم التوافقية قليلة.

(تمرين) اثبِّت صحة المعادلة  $G(v) = (v + \frac{1}{2})\hat{v} - (v + \frac{1}{2})^2 x_c \hat{v}$ ,  $v = 0, 1, 2, \dots, v_{max}$  حيث

$$x_c = a^2 \hbar / 2m_{eff} \omega = \hat{v} / 4D_c$$

(تمرين) اثبِّت المعادلة  $\Delta G_{v+1/2} = \hat{v} - 2(v+1)x_c \hat{v} + \dots$  والتي تقابل الانتقال  $0 \leftarrow 1$ .

(تمرين) اثبِّت المعادلة  $G(v+1) - G(v) = 2\hat{v} - 2(2v+3)x_c \hat{v} + \dots$  والتي تقابل الانتقال  $0 \leftarrow 2$ .

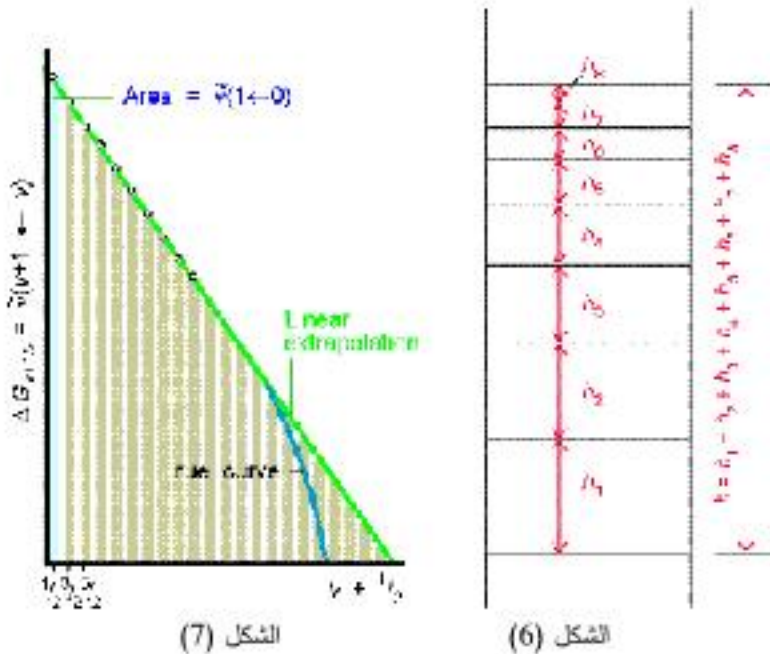
### Birge-sponer plot

عند تسجيل عدد من الانتقالات الاهتزازية فإنه من الممكن استخدام تقنية Birge-sponer plot لتحديد طاقة تحلل  $D_c$  الأصرة وكما في الشكل (6). أساس هذه التقنية هو بان مجموع الفترات المتتابعة  $\Delta G_{v+1/2}$  من المستوى الصفرى وصولاً لحدود التحلل يمثل طاقة التحلل للأصرة:

$$D_c = \Delta G_{1/2} + \Delta G_{3/2} + \dots + \Delta G_{v+1/2} + \dots = \sum_v \Delta G_{v+1/2}$$

$$D_c = h_1 + h_2 + \dots + h_v + \dots = \sum_v h_v$$

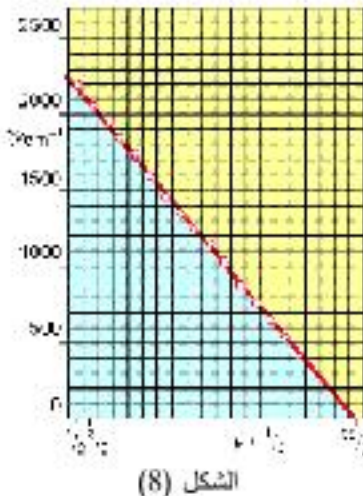
عند إعادة تركيب هذه الفترات نحصل على الشكل (7). بحيث تكون  $\Delta G_{v+1/2}$  على المحور الصادى  $v + \frac{1}{2}$  على المحور السيني. من ثم نرسم خط مستقيم يمر بال نقاط بحيث يقطع المحور  $v + \frac{1}{2}$  وذلك تكون المساحة تحت المنحنى تمثل قيمة  $D_c$ .



(مثال) احسب طاقة تحلل الجزيء  $H_2^+$ , إذا كانت الفترات المسجلة للجزيء تقع ضمن القيم التالية:

Interval	$1 / \text{cm}$	Interval	$1 / \text{cm}$
$1 \leftarrow 0$	2191	$9 \leftarrow 8$	1257
$2 \leftarrow 1$	2064	$10 \leftarrow 9$	1145
...	1941	...	1033
...	1821	...	918
...	1705	...	800
...	1591	...	677
...	1479	...	548
$8 \leftarrow 7$	1368	$16 \leftarrow 15$	411

الحل: بعد تثبيت النقاط كما في الشكل (8) ورسم خط مستقيم بحيث يقطع المحور  $1/1 + v$ . بذلك تكون المساحة تحت المستقيم تمثل طاقة تحلل الأصارة والتي تساوي  $256 \text{ kJ/mol}$ .



الشكل (8)

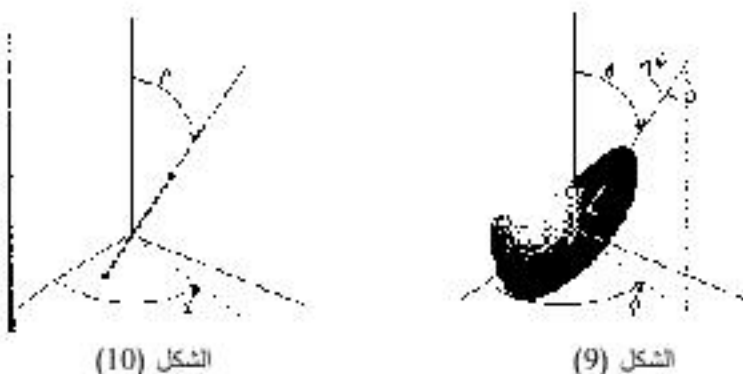
(تمرин) احسب طاقة تحلل الجزيء  $\text{HgH}$  إذا كانت المستويات الاهتزازية للجزيء تقارب بسرعة. الفترات المتعاقبة كما يلي:

Interval	$1 / \text{cm}$
$1 \leftarrow 0$	1203.7
$2 \leftarrow 1$	965.6
$3 \leftarrow 2$	632.4
$4 \leftarrow 3$	172

#### Vibration of polyatomic molecules

الجزيئات غير خطية مكونة من  $N$  من الذرات ستكون هناك  $3N - 6$  من الإزاحات التي ستقابل اهتزازات الجزيئات. لتحديد موقع  $N$  من الذرات سنحتاج إلى  $3N$  من الإحداثيات. ثلث من هذه الإحداثيات ستمثل

مركز كتلة الجزء، بذلك سيكون هنالك فقط  $3 - 3N$  إحداثي لتحديد الذرات نسبة لمركز الكتلة. الاتجاهات للجزئيات الغير خطية يتطلب تحديدها ثلاث زوايا  $(\phi, \theta, \psi)$  وكما مبين في الشكل (9). لذا ستكون الإحداثيات متساوية إلى  $6 - 3N$ . الإزاحات على امتداد هذه المحاور سيمثل اهتزازات الجزء. إذا كانت الجزء خطية آنذاك فقط تحتاج زاويتين  $(\phi, \theta)$  لتحديد الاتجاه وكما في الشكل (10)، لذلك فإن عدد الإحداثيات التي ستقابل أنمط الاهتزاز هي  $5 - 3N$ .



الشكل (10)

الشكل (9)

جميع الذرات تشارك في اهتزاز الجزء متعددة الذرات. لذا فإنه في حالة أن إحدى أوامر الجزء في تهيج اهتزازي فإن طاقة الاهتزاز ستنقل بسرعة إلى أصوات أخرى خلال حركة مركز الذرة. الطاقة الكامنة لجزء متعددة الذرات الغير خطية مستمد على جميع إزاحات الذرات عن موقع الاتزان ولذا فإن الجهد سيكون

$$\dots + k_{ij} \left( \frac{x_i}{x_{i0}} - 1 \right)^2 + \dots$$

وكما في حالة الجزئيات ذات الذرات الثانية فإن  $V = 0$  وان جميع المشتقات الأولى عند نقطة الاتزان  $(x_i = 0)$  مستساري صفر، لذا فلابد من الصغرى عن نقطة الاتزان

$$V = \frac{1}{2} k_{ij} \left( \frac{x_i}{x_{i0}} - 1 \right)^2$$

ويعرف  $k_{ij}$  بثابت القوة العام General force constant. عندما يكون هنالك أكثر من إزاحة اهتزاز واحدة فإن إزاحة ذرة واحدة ربما ستؤثر على القوة المعايدة Restoring force لذرة أخرى، وهذه الاحتمالية قد وضعت من خلال استخدام المشتقة الجزئية نسبتاً لإزاحتين  $x_i$  و  $x_j$ . علامة المجموع تكون على جميع الإزاحات  $N$  للذرات  $N$ ، وان بعض الإزاحات (والتي تتضمن انتقال ودوران الجزء) ستحتفظ لكي تحصل على ثابت القوة الصفرى Zero force constant لمن لا يهم إزاحتين تثبت القوة الصفرى عن الاهتزازات الحقيقية.

سنفترض إحداثي جديد وهو إحداثي وزن الكتلة  $q_i$ , Mass weight coordinate حيث أن  $q_i = m_i^{1/2} x_i$ , تمثل الكتلة التي لها إزاحة  $x_i$ . أما الطاقة الكامنة ستكون على النحو التالي

$$V = \frac{1}{2} \sum_q K_{ij} q_i q_j, \quad K_{ij} = \left( \frac{\partial^2 V}{\partial q_i \partial q_j} \right)_0$$

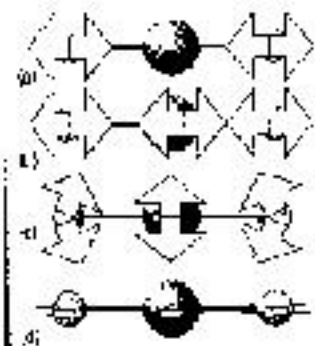
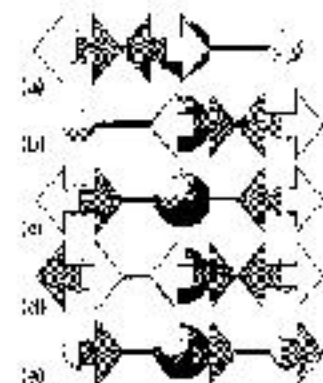
وأن الطاقة الحركية لجميع الذرات هي  $E_K = (1/2) \sum_i m_i \dot{x}_i^2 = (1/2) \sum_i \dot{q}_i^2$  بذلك فإن التمثيل الكلاسيكي للطاقة الكلية يكون

$$E = \frac{1}{2} \sum_i \dot{q}_i^2 + \frac{1}{2} \sum_j K_j q_j q_j$$

المسعرة التي تظهر في المعادلة السابقة هي عندما  $i \neq j$ . لذا سنفترض أن هناك امكانية وجود جمع خطى  $Q$  بحيث أن الطاقة الكلية يمكن ان تغير عنها بالشكل التالي

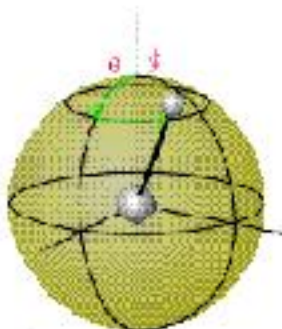
$$E = \frac{1}{2} \sum_i \dot{Q}_i^2 + \frac{1}{2} \sum_j \lambda_j Q_j^2, \quad i \neq j$$

بعض عمليات الجمع  $\lambda$  ستكون خارج الحسابات لأنها تمثل الحركات الانتقالية والدورانية، لذا فاننا منطبع لمثل هذه الحالات  $\lambda = 0$ . الجمع الخطى الذي يجرد من هذه الحركات سيكون Normal coordinates. الصورة المتباعدة لنطوي سحب Two stretch modes لجزيئه مثل  $\text{CO}_2$  سيكون أشبه بجمع وطرح لحركتي الازاحتين بعيدا او بتجاه ذرة الكاربون

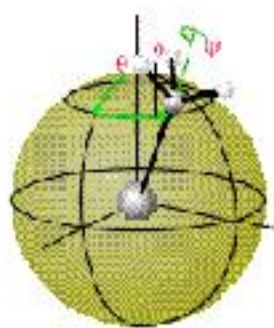


### أنماط الاهتزاز Vibrational modes

الجزيئات الغير خطية Nonlinear molecule التي تكون من  $N$  ذرة فان عدد الأنماط الاهتزازية لها يكون  $N_{\text{vib}} = 3N - 6$  نمط. إذا كانت الجزيئة خطية Linear molecule فان عدد الأنماط الاهتزازية لها تكون  $N_{\text{vib}} = 3N - 5$  نمط. عدد الإحداثيات الكلية لتعين موقع  $N$  من الذرات هو  $3N$ . كل ذرة ربما تغير احد إحداثياتها ( $x, y, z$ ) بحيث يكون عدد الإزاحات الممكنة هو  $3N$ . ثلاثة إحداثيات مستخدمة لتحديد مركز الكتلة لذا فان عدد الإزاحات الممكنة تصبح  $3N - 3$ . زواياها تحتاج لتحديد اتجاه الجزيئية الخطية في الفراغ وكما في الشكل التالي.



ثلاث زوايا تحتاج لتحديد اتجاه الجزيئية الغير خطية في الفراغ وكما موضح في الشكل التالي.

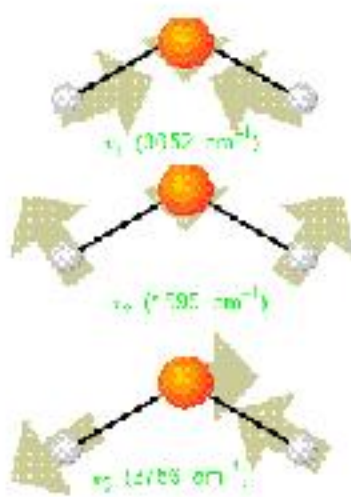


لذا يكون عد الأنماط الاهتزازية:

$$N_{\text{vib}} = \begin{cases} 3N - 5, & \text{linear molecules} \\ 3N - 6, & \text{nonlinear molecules} \end{cases}$$

### H<sub>2</sub>O-modes

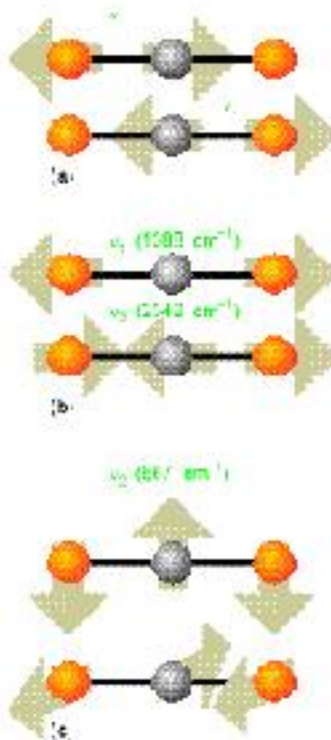
جزيئة الماء غير خطية وتحتوي على ثلاثة أنماط دورية وثلاث أنماط دورانية وكما في الشكل التالي.



حيث نلاحظ أن نمط الشي Bending mode  $\nu_2$  له أقل تردد مقارننا مع الأنماط الأخرى. عموماً فإن ترددات التي تكون أقل طاقة من أنماط السحب.

### $\text{CO}_2$ -modes

جزيئة ثاني أكسيد الكربون خطية وتحتلي أربعة أنماط اهتزازية ونمطين دورانيين.



النمط  $\nu_2$  يمثل سحب للأصوات الواقعة على الجهة اليسار بينما النمط  $\nu_3$  يمثل سحب للأصوات الواقعة على جهة اليمين. وهناك نمطين  $\nu_2$  عموديين يثنى الجزيئ. عندما إحدى الأصوات  $\text{CO}$  تكون في حالة تهيج اهتزازي

ذلك يؤدي إلى أن ذرة الكربون ستتحرك باتجاه ذرة الأوكسجين الأخرى معيبة بذلك حركة الأسرة CO الثانية، بحيث أن الطاقة ستتساب إلى الأمام والخلف بين الحالتين  $\nu_1, \nu_2$ . أي أن مركز الثقل سيتغير مع كل اهتزاز، لذا سيكون وصف الحركة الاهتزازية بسيط وذلك بالجمع الخطي لهاذين النمطين بحيث:

$$\nu_1 = \nu_L + \nu_R, \quad \text{Symmetric stretch}$$

$$\nu_2 = \nu_L - \nu_R, \quad \text{Antisymmetric stretch}$$

حيث أن النمط  $\nu_1$  المتوازن فإن ذرتي الأوكسجين تتحركان سوية مبعدين ومقتربين من ذرة الكربون الثانية بدون حركة، أما في النمط  $\nu_2$  فإن ذرتي الأوكسجين ستتحركان بنفس الاتجاه وبصورة معاكستين لاتجاه حركة الكربون، كل نمط  $q$  يسلك كمتنبب تواقيع متنقل (إذا إهملنا اللاتواقيع Anharmonicities) بحيث يمتلك عدد من المحدد:

$$G_q(v) = (v + \frac{1}{2})\hat{\nu}_q \quad \hat{\nu}_q = \frac{1}{2\pi c} \sqrt{\frac{k_q}{m_q}}$$

حيث  $\hat{\nu}_q$  العدد الموجي للنمط  $q$  ويعتمد على ثابت القوة  $k_q$  للنمط وكذلك على الكتلة الفعالة  $m_q$  للنمط، كتوبيخ حول الكتلة الفعالة للنمط فإن في حالة السحب المتوازن فإن الكتلة الفعالة تمثل كتل ذرتي الأوكسجين فقط، بينما في حالة السحب الغير متوازن فإن الكتلة الفعالة ستعتمد على كتل الذرات الثلاث. عموماً فإن الأنماط تكون مركبة من حركة متزامنة من سحب وثنى الأواصر، وكذلك فإن الذرات الأقل تكون حركتها أبط من حركة الذرات الحقيقة.